

УДК 531.8

ИССЛЕДОВАНИЕ ДИНАМИКИ МАНИПУЛЯТОРА С УПРУГИМИ ЗВЕНЬЯМИ

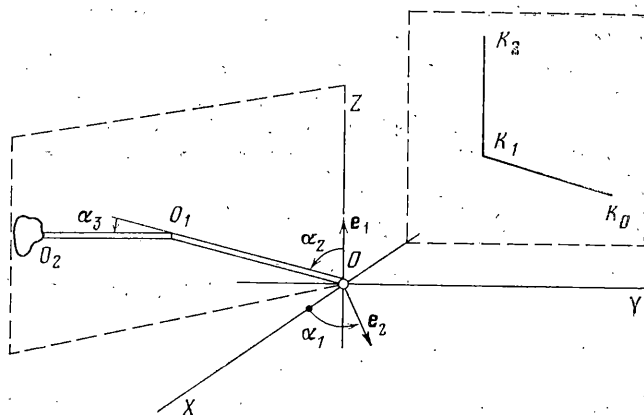
МИХАЙЛОВ С. А., ЧЕРНОУСЬКО Ф. Л.

Как известно, при исследовании динамики манипуляторов обычно применяется механическая модель, в которой звенья считаются абсолютно твердыми телами [1]. Однако при большой длине и малой жесткости звеньев существенное влияние на точность операций манипулятора оказывает упругая податливость его конструкции. Динамика упругого манипулятора рассматривалась, например, в [2—6].

В публикуемой работе исследуются пространственные управляемые движения антропоморфного манипулятора с упругими звеньями. Исследование проводится асимптотическим методом, разработанным в [5] для общего случая многозвенового манипулятора, и численным моделированием [4].

Предлагаемая методика позволяет производить анализ и расчет упругих колебаний манипулятора в процессе его движения, определять силы, действующие в конструкции манипулятора, и моменты, развиваемые двигателями.

1. Рассматриваемая механическая модель упругого манипулятора с грузом характеризуется следующими допущениями (фиг. 1).



Фиг. 1

1. Манипулятор OO_1O_2 представляет собой двузвеновик, состоящий из двух стержней одинаковой длины l .

2. В неподвижной точке O совмещены два цилиндрических шарнира. Ось e_1 первого шарнира неподвижна, ось e_2 второго шарнира подвижна и перпендикулярна e_1 . В точке O_1 находится локтевой цилиндрический шарнир, ось которого при отсутствии упругих деформаций стержня OO_1 параллельна оси e_2 .

3. Груз считается материальной точкой массы m и находится в точке O_2 .

4. Звенья манипулятора представляют собой однородные прямолинейные упругие стержни кольцевого поперечного сечения, испытывающие деформации изгиба и кручения.

5. Упругие смещения манипулятора и груза в процессе движения малы по сравнению с длиной звеньев l .

6. Масса манипулятора m_0 мала по сравнению с массой груза m .

7. Углы поворота в шарнирах заданы как функции времени (случай кинематического управления).

Поясним сделанные допущения: 1—3 представляют собой некоторые упрощения реальной кинематической схемы антропоморфного манипулятора. В них во внимание не принимаются размеры кисти и груза, а также расстояние между осями шарниров e_1, e_2 . Эти размеры обычно малы по сравнению с длиной l плечевого и локтевого звеньев, и поэтому не влияют существенно на упругие колебания, обусловленные главным образом транспортными операциями (поворотами плеча и локтя). Допущение 4 обычно выполняется на практике; 6 — представляет собой ограничение, из которого вытекают следующие свойства спектра упругих колебаний. Обозначим через c характерную жесткость конструкции манипулятора. Тогда частоты собственных упругих колебаний распадаются на две группы: частоты порядка $(c/m)^{1/2}$ и частоты порядка $(c/m_0)^{1/2}$. Частоты первой группы (низкие), равные числу степеней свободы груза m , соответствуют квазистатическим деформациям манипулятора. Частоты второй группы (высокие) отвечают упругим волнам в стержнях OO_1 и O_1O_2 и образуют бесконечный спектр. Колебания второй группы соответствуют малым перемещениям груза по сравнению с перемещениями точек манипулятора, а из-за высоких частот затухают гораздо быстрее, чем частоты первой группы. Поэтому колебаниями второй группы можно пренебречь и учитывать лишь колебания первой, для которых упругие деформации стержней можно считать квазистатическими.

Допущение 7 означает, что управление движением манипулятора задано в виде кинематической программы.

Допущение 5 позволяет пользоваться обычной линейной теорией формирования упругих стержней. Отметим, что этому допущению можно придать эквивалентный вид — 5': периоды собственных упругих колебаний малы по сравнению с характерным временем операции манипулятора.

Обозначим характерное время операции T_* , тогда характерная величина ускорения груза равна lT_*^{-2} , а характерная величина силы, действующей на груз со стороны манипулятора, равна $\Phi \sim mlT_*^{-2}$. Характерное упругое смещение груза по порядку величины равно

$$u \sim \Phi c^{-1} \sim mlT_*^{-2} c^{-1} \quad (1.1)$$

Обозначая $T_1 \sim (m/c)^{1/2}$ период низшего тона упругих колебаний, получим из (1.1):

$$u/l \sim (T_1/T_*)^2 \ll 1 \quad (1.2)$$

что и доказывает эквивалентность допущений 5 и 5'.

Допущение 5' означает, что угловая скорость поворота звеньев мала по сравнению с низшей частотой упругих колебаний. Поэтому влияние центробежных сил на жесткость манипулятора можно не учитывать и определять матрицу жесткости согласно статике упругих стержней.

Заметим еще, что соотношение (1.2) позволяет ввести малый параметр $\epsilon \sim T_1/T_* \ll 1$ и использовать асимптотические методы.

Обозначим через α_1 угол поворота манипулятора вокруг оси шарнира e_1 , через α_2 — угол поворота вокруг оси шарнира e_2 , через α_3 — угол поворота в локтевом шарнире O_1 .

Введем инерциальную декартову систему координат $OXYZ$, ось Z которой направим по неподвижной оси шарнира e_1 . Подвижная ось шарнира e_2 лежит в плоскости OXY и образует угол α_1 с осью X . Угол между касательной к стержню OO_1 в точке O и осью Z равен α_2 , а угол между касательными к стержням OO_1 и O_1O_2 в точке O_1 равен α_3 .

Наряду с упругим манипулятором введем в рассмотрение модель жесткого манипулятора, у которого оба звена — абсолютно твердые стержни.

Для жесткой модели имеем $\varepsilon=0$. Кинематика жесткой модели определяется соотношениями

$$\begin{aligned} r_x^\circ &= l \sin \alpha_1 [\sin \alpha_2 + \sin (\alpha_2 + \alpha_3)] \\ r_y^\circ &= -l \cos \alpha_1 [\sin \alpha_2 + \sin (\alpha_2 + \alpha_3)] \\ r_z^\circ &= l [\cos \alpha_2 + \cos (\alpha_2 + \alpha_3)] \end{aligned} \quad (1.3)$$

Здесь $r_x^\circ, r_y^\circ, r_z^\circ$ — проекции радиус-вектора \mathbf{r}° точки O_2 на оси системы координат $OXYZ$ для жесткой модели. Систему (1.3) разрешим относительно углов α_i (индекс i всюду принимает значения $i=1, 2, 3$):

$$\begin{aligned} \alpha_1 &= -\arctg (r_x^\circ / r_y^\circ) \quad (r_y^\circ \leq 0), \quad \alpha_1 = \pi - \arctg (r_x^\circ / r_y^\circ) \quad (r_y^\circ \geq 0) \\ \alpha_3 &= \pm 2 \arccos [((r_x^\circ)^2 + (r_y^\circ)^2 + (r_z^\circ)^2)^{1/2} / (2l)] \\ \alpha_2 &= \arctg [\{ (r_x^\circ)^2 + (r_y^\circ)^2 \}^{1/2} / r_z^\circ] - \alpha_3 / 2 \quad (r_z^\circ \geq 0) \\ \alpha_2 &= \pi + \arctg [\{ (r_x^\circ)^2 + (r_y^\circ)^2 \}^{1/2} / r_z^\circ] - \alpha_3 / 2 \quad (r_z^\circ \leq 0) \end{aligned} \quad (1.4)$$

Равенства (1.4) определяют конфигурацию (углы в шарнирах) жесткого манипулятора по известному положению груза. Неоднозначность соотношений (1.4) для α_2, α_3 связана с тем, что внутри зоны обслуживания манипулятора $OO_2 < 2l$ возможны две конфигурации, при которых перемещаемый груз находится в данной точке.

В дальнейшем наряду с инерциальной системой координат $OXYZ$ будет использоваться подвижная система $O_2X'Y'Z'$. Относительно жесткой модели ее ось Z' направлена по продолжению звена O_1O_2 , ось X' параллельна оси шарнира O_1 (т. е. вектору \mathbf{e}_2), ось Y' дополняет систему осей до правой ортогональной. Приведем матрицу перехода от системы координат $OXYZ$ к $O_2X'Y'Z'$. Если u_i и u_i' — проекции некоторого вектора на оси систем $OXYZ$ и $O_2X'Y'Z'$ соответственно, то имеем связь

$$\mathbf{u}' = V \mathbf{u}, \quad u_i' = \sum_{j=1}^3 V_{ij} u_j \quad (1.5)$$

$$V(\alpha) = \begin{bmatrix} \cos \alpha_1 & \sin \alpha_1 & 0 \\ -\sin \alpha_1 \cos (\alpha_2 + \alpha_3) & \cos \alpha_1 \cos (\alpha_2 + \alpha_3) & \sin (\alpha_2 + \alpha_3) \\ \sin \alpha_1 \sin (\alpha_2 + \alpha_3) & -\cos \alpha_1 \sin (\alpha_2 + \alpha_3) & \cos (\alpha_2 + \alpha_3) \end{bmatrix}$$

Сформулируем задачу. Предполагается, что на манипулятор с грузом действуют моменты $M = (M_1, M_2, M_3)$, развиваемые двигателями в шарнирах, внешняя сила $\mathbf{F}(\mathbf{r}, \mathbf{r}', t)$, приложенная к грузу (например, вес или сопротивление среды), и реакция опоры в точке O . Здесь \mathbf{r} — радиус-вектор груза в инерциальной системе координат, t — время. Пусть выполнены допущения 1—7 и заданы зависимости углов в шарнирах от времени $\alpha = \{\alpha_i(t)\}$ или закон движения груза для жесткой модели $\mathbf{r}^\circ(t)$. Требуется определить движение груза $\mathbf{r}(t)$, закон изменения моментов в шарнирах $M(t)$, обеспечивающий данное движение, а также силу $\Phi(t)$, с которой груз действует на манипулятор. Отметим, что вследствие безынерционности манипулятора сила Φ с точностью до знака равна реакции опоры в точке O , а также силе, действующей в любом сечении манипулятора.

2. Уравнение движения груза имеет вид

$$m \mathbf{r}'' = \mathbf{F}(\mathbf{r}, \mathbf{r}', t) - \Phi \quad (2.1)$$

Обозначим через \mathbf{u}, \mathbf{u}' вектор упругого смещения груза относительно жесткой модели в проекциях на оси систем координат $OXYZ$ и $O_2X'Y'Z'$ соответственно. Имеем

$$\mathbf{r} = \mathbf{r}^\circ + \mathbf{u} \quad (2.2)$$

Потенциальная энергия деформаций манипулятора Π есть энергия упругого двузвенника OO_1O_2 при фиксированных углах α_i . В рассматриваемом случае малых деформаций имеем

$$\Pi = \frac{1}{2}(Cu, u) = \frac{1}{2}(C'u', u'), \quad C = V^T C' V, \quad u' = Vu \quad (2.3)$$

Здесь C и C' — матрицы жесткости в системах координат $OXYZ$ и $O_2X'Y'Z'$ соответственно, ортогональная матрица V определена в (1.5); символ T означает транспонирование. Матрица жесткости C' вычислена в [6]. Ее элементы не зависят от углов α_1, α_2 и равны

$$c_{ij}' = kc_{ij}^1$$

$$c_{11}^1 = (4\xi + 3)(3\xi\xi^{-1} \sin^2 \alpha_3 + \xi + 3 \cos^2 \alpha_3 + 3 \cos \alpha_3 + 1)^{-1} \quad (2.4)$$

$$c_{22}^1 = 4, \quad c_{23}^1 = c_{32}^1 = -2(3 + 2 \cos \alpha_3) / \sin \alpha_3$$

$$c_{33}^1 = 4(3 + \xi + 3 \cos \alpha_3 + \cos^2 \alpha_3) / \sin^2 \alpha_3$$

$$c_{12}^1 = c_{21}^1 = c_{13}^1 = c_{31}^1 = 0$$

$$k = 3E_1 I_1 / [l^3(4\xi + 3)], \quad \xi = E_1 I_1 / E_2 I_2, \quad \zeta = c_0 / E_2 I_2$$

Здесь E_1 и E_2 — модули Юнга материала стержней OO_1 и O_1O_2 соответственно, I_1 и I_2 — моменты инерции их сечений относительно диаметра, c_0 — жесткость на кручение стержня OO_1 . Заметим, что кручение второго стержня O_1O_2 отсутствует вследствие пренебрежения массой стержней и линейными размерами груза.

Сила Φ , с которой груз действует на упругий манипулятор, в силу (2.3) равна

$$\Phi = \partial \Pi / \partial u = Cu \quad (2.5)$$

Поскольку масса манипулятора пренебрежимо мала, то в каждый момент времени он находится в равновесии под действием упругих сил и моментов, развиваемых двигателями. Согласно принципу виртуальных перемещений

$$(M, \delta \alpha) - \delta \Pi = (M, \delta \alpha) - (Cu, \delta u) = 0 \quad (2.6)$$

Здесь в выражении $\delta \Pi$ опущены квадратичные по u слагаемые. Равенство (2.6) имеет место при фиксированном радиус-векторе груза r , или в силу (2.2) при условии

$$\delta u = -\delta r^\circ = -B \delta \alpha, \quad B = \partial r^\circ / \partial \alpha \quad (2.7)$$

где B — матрица частных производных, вычисленных в силу соотношений (1.3).

Из (2.6), (2.7) получим

$$M = -B^T C u \quad (2.8)$$

Из (2.1), (2.2), (2.5) получим уравнение движения в одной из форм

$$m \ddot{r} = F(r, \dot{r}, t) - C(\alpha)(r - r^\circ) \quad (2.9)$$

$$m \ddot{u} = -C(\alpha)u + F(r, \dot{r}, t) - m(r^\circ)''; \quad r = r^\circ + u \quad (2.10)$$

Пусть задана зависимость $\alpha(t)$ или $r^\circ(t)$ (случай кинематического управления); взаимосвязь между ними дана соотношениями (1.3), (1.4). Тогда, интегрируя уравнение (2.9) или (2.10) при соответствующих начальных условиях для r, \dot{r} или u, \dot{u} , определим движение груза $r(t)$ и его упругое смещение $u(t)$. После этого сила Φ и моменты двигателей M можно подсчитать по формулам (2.5), (2.8). Заметим, что уравнение в форме (2.9) не требует вычисления производной $(r^\circ)''$, и поэтому может быть удобнее при численном счете.

3. Асимптотическое решение построим, следуя [5], где оно дано для общего случая многозвенного манипулятора. Введем малый параметр $\varepsilon \sim T_1/T_*$ согласно (1.2); тогда для матрицы жесткости и упругого смещения имеем $C \sim \varepsilon^{-2}$, $u \sim \varepsilon^2$, а величина M из (2.8) оказывается конечной. Положим

$$C = \varepsilon^{-2} C^0, \quad u = y + z, \quad y = \varepsilon^2 y', \quad z = \varepsilon^2 z'(t), \quad t = \varepsilon t' \quad (3.1)$$

Быстрое время t' изменяется на величину порядка единицы за период колебаний. Слагаемое $y(t)$ в (3.1) определим равенством

$$y = C^{-1}(\alpha) [F(r^0, (r^0)', t) - m(r^0)''] \quad (3.2)$$

Сопоставляя (3.2) и (2.10), видим, что y есть квазистатическое (медленно меняющееся) упругое смещение. Согласно (3.1), имеем $y \sim \varepsilon^2$. Подставляя равенства (3.1), (3.2) в уравнение (2.10), получим после упрощений уравнение для быстрой (колебательной) части упругого смещения

$$m \frac{d^2 z'}{dt'^2} + C^0(\alpha) z' = \varepsilon R(t) \frac{dz'}{dt'} + O(\varepsilon^2), \quad R(t) = \frac{\partial F}{\partial r} \quad (3.3)$$

Матрица частных производных $R(t)$ и матрица $C^0(\alpha(t))$ зависят от медленного (в сравнении с t') времени t . Асимптотическое решение уравнения (3.3) с медленно меняющимися коэффициентами строится по общей схеме метода усреднения [7] и в первом приближении имеет вид [5]:

$$z = \sum_{i=1}^3 \Phi^i(t) a_i(t) \cos \psi_i, \quad a_i(t) = a_{i0} \left[\frac{\omega_i(0)}{\omega_i(t)} \right]^{1/2} \exp \int_0^t \frac{s_i(t_1) dt_1}{2} \quad (3.4)$$

$$\psi_i(t) = \int_0^t \omega_i(t_1) dt_1 + \psi_{i0}, \quad s_i(t) = (R(t) \Phi^i(t), \Phi^i(t))$$

Где уже проведен переход к исходным (без штрихов) переменным согласно (3.1), скобки означают скалярное произведение, ω_i , Φ^i , a_i , ψ_i — соответственно частоты, амплитудные векторы, амплитуды и фазы нормальных колебаний, a_{i0} , ψ_{i0} — произвольные постоянные. Частоты и амплитудные векторы определяются из решения задачи на собственные значения

$$[C(\alpha) - \omega_i^2 m E] \Phi^i = 0 \quad (3.5)$$

где E — единичная матрица порядка 3×3 . Так как $\alpha = \alpha(t)$, то ω_i , Φ^i также зависят от t .

Задача (3.5) о собственных колебаниях упругого манипулятора с грузом решена в [6]. Решение имеет вид

$$\omega_1^2 = \frac{3E_1 I_1}{m l^3} \xi [3(\xi - \xi) \cos^2 \alpha_3 + 3\xi \cos \alpha_3 + 3\xi + \xi(\xi + 1)]^{-1}$$

$$\omega_{2,3}^2 = \frac{6E_1 I_1}{m l^3} [3 \cos \alpha_3 + \xi + 4 \pm P(\xi, \cos \alpha_3)]^{-1}$$

$$\{\Phi^1, \Phi^2, \Phi^3\} = [V^T G(\beta)], \quad G(\beta) = \begin{vmatrix} 1 & 0 & 0 \\ 0 & \cos \beta & -\sin \beta \\ 0 & \sin \beta & \cos \beta \end{vmatrix} \quad (3.6)$$

$$\beta = \text{sgn}(\sin \alpha_3) \arccos [(P(\xi, \cos \alpha_3) + 2 + 3 \cos \alpha_3 + \xi + 2 \cos^2 \alpha_3) / 2P(\xi, \cos \alpha_3)]^{1/2}$$

$$P = [4(\xi + 3) \cos^2 \alpha_3 + 6(\xi + 4) \cos \alpha_3 + 13 + \xi^2 + 4\xi]^{1/2}$$

Векторы Φ' есть столбцы матрицы $V^T G$, причем столбцами матрицы G являются амплитудные векторы в системе координат $O_2 X' Y' Z'$. Система нормальных координат представляет собой декартову систему, повернутую относительно $O_2 X' Y' Z'$ на угол β вокруг оси X' . Колебания груза с частотами ω_2, ω_3 происходят в плоскости недеформированного манипулятора, а колебания с наиболее низкой частотой ω_1 — перпендикулярно этой плоскости. В предельных случаях распрямленного $\alpha_3 = 0$ и сложенного $\alpha_3 = \pi$ манипулятора имеем $\omega_3 \rightarrow \infty$.

Преобразуем решение (3.4), используя (3.6) и ограничиваясь для простоты случаем $\partial F / \partial \mathbf{r} = R = 0$:

$$\mathbf{z} = V^T(\alpha) G(\beta) \mathbf{f}, \quad f_i = a_{i0} \left[\frac{\omega_i(0)}{\omega_i(t)} \right]^{1/2} \cos \left[\int_0^t \omega_i(t_1) dt_1 + \psi_{i0} \right] \quad (3.7)$$

Определим постоянные a_{i0}, ψ_{i0} в (3.7) по начальным данным $\mathbf{u}(0), \mathbf{u}'(0)$. Из (3.1) имеем

$$\mathbf{z}(0) = \mathbf{u}(0) - \mathbf{y}(0), \quad \mathbf{z}'(0) = \mathbf{u}'(0) \quad (3.8)$$

где величина $\mathbf{y}'(0)$ опущена, так как она согласно (3.1) меньше по порядку величины, чем $\mathbf{z}'(0)$. Подставляя решение (3.7) в (3.8) и учитывая ортогональность матриц, получим

$$\mathbf{f}(0) = [G^T V(\mathbf{u} - \mathbf{y})]_{t=0}, \quad \mathbf{f}'(0) = [G^T V \mathbf{u}']_{t=0} \quad (3.9)$$

На основании (3.7) выразим постоянные a_{i0}, ψ_{i0} через $f_i(0), f_i'(0)$:

$$a_{i0} = \{f_i^2(0) + [f_i'(0) \omega_i^{-1}(0)]^2\}^{1/2}$$

$$\psi_{i0} = -\arctg \frac{f_i'(0)}{f_i(0) \omega_i(0)} \quad (f_i(0) \geq 0), \quad \psi_{i0} = \pi - \arctg \frac{f_i'(0)}{f_i(0) \omega_i(0)} \quad (f_i(0) \leq 0) \quad (3.10)$$

При получении формул (3.9), (3.10) пренебрегаем скоростями изменения величин V, G, ω_i , зависящих от α , по сравнению со скоростью упругих колебаний \mathbf{u} .

Итак, расчет динамики упругого манипулятора асимптотическим методом сводится к следующему.

Пусть задана одна из зависимостей $\alpha(t)$ или $\mathbf{r}^\circ(t)$; по формулам (1.3) или (1.4) определяем вторую из этих зависимостей, затем подсчитываем квазистатическое смещение $\mathbf{y}(t)$ согласно (3.2). По начальным данным $\mathbf{u}(0), \mathbf{u}'(0)$ определяем $\mathbf{f}(0), \mathbf{f}'(0)$ и a_{i0}, ψ_{i0} согласно формулам (3.9), (3.10). После этого подсчитывается функция $\mathbf{z}(t)$ по формуле (3.7) и определяются полное упругое смещение $\mathbf{u}(t) = \mathbf{y}(t) + \mathbf{z}(t)$ и положение груза $\mathbf{r}(t) = \mathbf{r}^\circ(t) + \mathbf{u}(t)$ в любой момент времени. Сила Φ , действующая на манипулятор со стороны груза и равная (с точностью до знака) реакции опоры O , определяется по формуле (2.5), а моменты в шарнирах — по формуле (2.8). Весь расчет требует лишь вычислений по явным формулам и взятия трех квадратур в (3.7). Функции и матрицы V, C, ω_i, G , фигурирующие в расчетных формулах, заданы в зависимости от углов α_i соотношениями (1.5), (2.4), (3.6).

Заметим, что законы изменения $\alpha_i(t), \mathbf{r}^\circ(t)$ предполагались достаточно гладкими. Однако на практике часто встречаются программы движения, в которых ускорение ($\mathbf{r}^\circ(t)$) испытывает разрывы (скачки). В момент t_* скачка ($\mathbf{r}^\circ(t)$) смещение $\mathbf{y}(t)$ также испытывает скачок согласно (3.2), и поэтому не может считаться медленной переменной. Методика расчета в окрестности момента t_* видоизменяется: вектор \mathbf{y} определяется по-прежнему формулой (3.2), а постоянные a_{i0}, ψ_{i0} в (3.7) испытывают скачки в момент t_* . Новые значения постоянных при $t > t_*$ определяются анало-

тично (3.8)–(3.10) из условий непрерывности полного упругого смещения $u(t)$ и скорости $u'(t)$ в момент t_* .

4. Наряду с асимптотическим решением для сравнения и контроля строилось также численное решение непосредственным интегрированием на ЭВМ уравнения (2.10). Задавались начальные данные $u(0)$, $u'(0)$ и функция $r^\circ(t)$; углы $\alpha_i(t)$ рассчитывались по формулам (1.4). Интегрирование проводилось по методу Рунге – Кууты с автоматическим выбором шага и контролем точности. После определения упругого смещения $u(t)$ сила Φ и моменты M определялись, как и в п. 3, по формулам (2.5), (2.8).

Отметим преимущества и недостатки обоих методов. В отличие от асимптотического метода численный не требует определения собственных частот и форм колебаний, а также обращения матрицы жесткости (см. (3.2)) и расчета начальных данных (3.8)–(3.10). С другой стороны, асимптотический метод позволяет получить решение в виде явных формул и требует лишь вычисления квадратур в (3.7); эти квадратуры можно считать со значительно большим шагом, чем численное интегрирование уравнения упругих колебаний (2.10). Расчет частот и форм колебаний и обращение матрицы C в данном случае выполнены раз и навсегда в аналитическом виде.

В качестве примера приведем результаты расчетов одного пространственного движения упругого манипулятора. Геометрические и механические параметры манипулятора считались равными $l=1$, $m=1$, $E_1 I_1=1/3$, $\xi=1,5$, $\xi=1,4$.

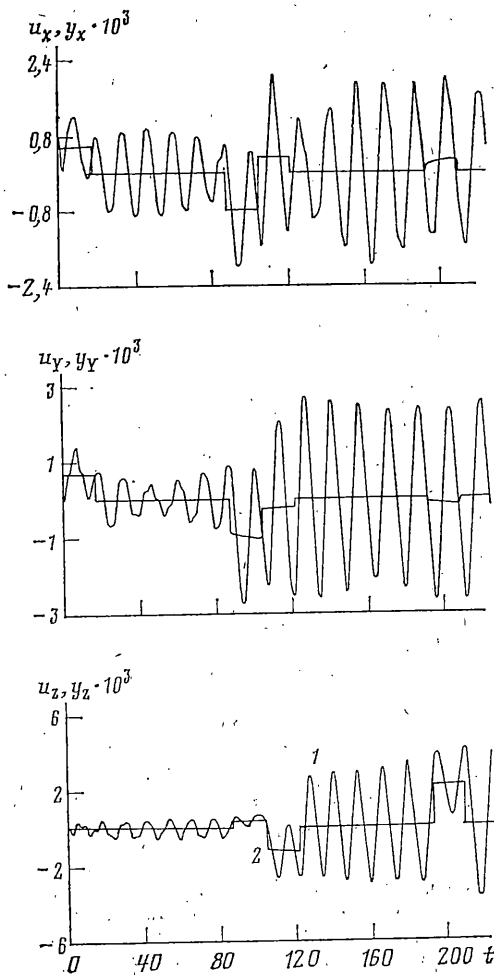
Внешняя сила F полагалась равной нулю: $F=0$. Программа движения груза для жесткой модели $r^\circ(t)$ задавалась следующим образом. Траектория точки $r^\circ(t)$ представляет собой ломаную $K_0 K_1 K_2$, состоящую из двух отрезков прямых, имеющих одинаковую длину, образующих угол 120° и лежащих в плоскости $X=-0,45$. Координаты концов отрезков в инерциальной системе $OXYZ$ равны (см. фиг. 1) $K_0=(-0,45; 0,84; 0,52)$; $K_1=(-0,45; 0,33; 0,82)$, $K_2=(-0,45; 0,33; 1,42)$.

Вдоль каждого из отрезков $K_0 K_1$, $K_1 K_2$ движение конца вектора $r^\circ(t)$ происходило по одному и тому же закону

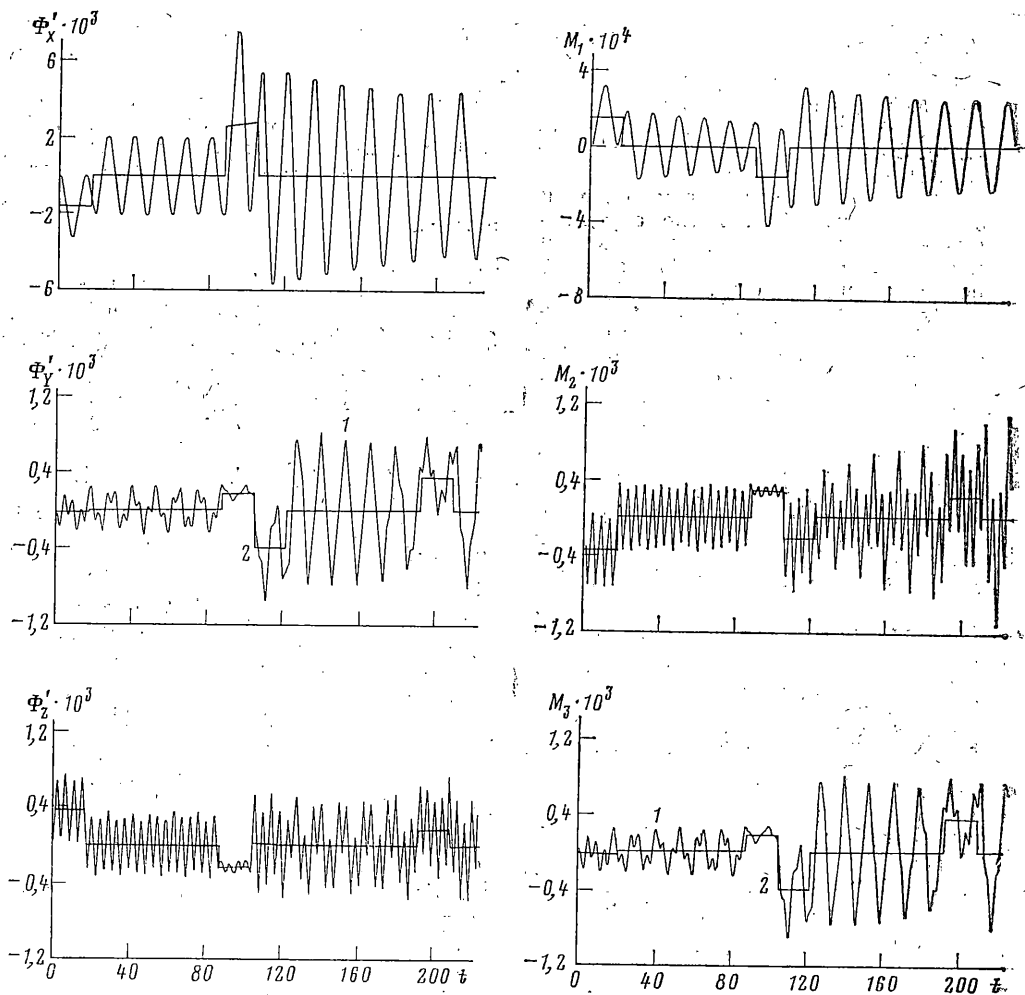
и состояло из участка разгона длительностью $\tau_1=17$, участка движения с постоянной скоростью, длительностью $\tau_2=71$ и участка торможения, длительностью $\tau_3=17$. Постоянная скорость на средних участках равна $|(r^\circ)'|=v=0,0068$, на участках разгона скорость $|(r^\circ)'|$ изменялась линейно от 0 до v , на участках торможения – линейно от v до 0. Полная длительность операции составляла $T_*=4\tau_1+2\tau_2=210$. В течение операции ускорение $(r^\circ)''$ испытывало ряд скачков, что требовало пересчета начальных данных, как описано в конце п. 3. Расчеты проводились асимптотическим и численным методами (п. 3, 4). Результаты получились весьма близкими: расхождения в величинах упругих смещений, сил и моментов не превышали величин порядка 1%, что лежит в пределах точности методов.

Некоторые результаты представлены на фиг. 2–4. На фиг. 2 даны проекции вектора упругого смещения $u(t)$ на оси инерциальной системы координат $OXYZ$ (кривая 1). На этих же фигурах даны проекции вектора квазистатического смещения $y(t)$ на те же оси (кривая 2). Видно, что зависимость $y(t)$ имеет скачки в точках разрыва ускорения $(r^\circ)''$; полное же упругое смещение $u(t)$ – непрерывная и гладкая функция. Зависимость $u(t)$ имеет характер колебаний переменной амплитуды с медленно меняющейся частотой. Эти колебания отвечают в основном низшим частотам ω_1, ω_2 .

На фиг. 3 даны проекции силы Φ на оси подвижной системы координат $O_2 X' Y' Z'$ (кривая 1). В проекции Φ на ось Z' существенно проявляются колебания высшего



Фиг. 2



Фиг. 3

Фиг. 4

тона с частотой ω_3 . На фиг. 4 представлены зависимости моментов в шарнирах $M_i(t)$, $i=1, 2, 3$. Графики этих функций отмечены цифрой 1. Здесь колебания высшей частоты особенно заметны в зависимости $M_2(t)$.

На фиг. 3, 4 для сравнения указаны также зависимости сил Φ и моментов M в случае жесткой модели (кривые 2). Эти зависимости не содержат колебаний и имеют разрывы в моменты скачков ускорения (\ddot{r}^0).

ЛИТЕРАТУРА

1. Попов Е. П., Верещагин А. Ф., Зенкевич С. А. Манипуляционные роботы: динамика и алгоритмы. М.: Наука, 1978. 398 с.
2. Book W. J. Analysis of massless elastic chains with servo controlled joints. — Trans-ASME. J. Dynamic Syst. Measur. and Control, 1979, v. 101, No. 3, p. 187–192.
3. Лагода Н. А., Рахманов Е. В., Шведов В. Н. Управление упругим манипулятором на траектории. — Изв. АН СССР. Техническая кибернетика, 1980, № 2, с. 53–59.
4. Акуленко Л. Д., Михайлов С. А., Черноусько Ф. Л. Моделирование динамики манипулятора с упругими звеньями. — Изв. АН СССР. МТТ, 1981, № 3, с. 118–124.
5. Черноусько Ф. Л. Динамика управляемых движений упругого манипулятора. — Изв. АН СССР. Техническая кибернетика, 1981, № 5, с. 142–152.
6. Михайлов С. А. Собственные колебания упругого двузвенника с точечной массой. — Изв. АН СССР. МТТ, 1983, № 2, с. 72–75.
7. Митропольский Ю. А. Проблемы асимптотической теории нестационарных колебаний. М.: Наука, 1964. 431 с.

Москва

Поступила в редакцию
20.X.1982